



مقاله پژوهشی

به کارگیری روش سریع و حساس Real time PCR در تشخیص ناچالصی های DNA در اینترفرون نوترکیب

بابک مننون^۱، تقی ناصرپور فریور^{۱*}، محسن کریمی ارزنانی^۲

۱- مرکز تحقیقات سلولی و مولکولی، دانشکده پزشکی، دانشگاه علوم پزشکی قزوین، قزوین، ایران.

۲- بخش پزشکی مولکولی، انسستیتوپاستور ایران، تهران، ایران.

تاریخ پذیرش مقاله: ۱۳۹۳/۰۸/۰۱

تاریخ دریافت مقاله: ۱۳۹۳/۰۳/۲۶

چکیده

زمینه و هدف: اینترفرون ها خانواده ای از سایتوکاین ها هستند که در پاسخ ایمنی به عفونت های ویروسی نقش اساسی دارند. در جریان تولید اینترفرون نوترکیب در میزبان بیولوژیک، قطعاتی از اسیدنوکلئیک میزبان وارد محصول می شود. به علت وجود محدودیت های روش های قبلی در تشخیص این آلودگی ها، هدف از این مطالعه، استفاده از روش مولکولی سریع و حساس Real time PCR در این ناچالصی ها می باشد.

مواد و روش ها: ابتدا با استخراج DNA از میزبان باکتریایی و تهیه رقت های متوالی از آن، واکنش Real time PCR به کمک رنگ SYBR Green I انجام گرفت و منحنی استاندارد رسم گردید. پس از استخراج DNA از اینترفرون و انجام واکنش PCR، میزان DNA به کمک منحنی استاندارد، تعیین گردید.

نتایج: بررسی های انجام شده بر روی چند نمونه اینترفرون، میزان آلودگی DNA را حدود ۰/۰۲ پیکوگرم در هر دوز محصول نشان داد. همچنین پرایمر های طراحی شده در واکنش فوق، هیچ گونه واکنشی با یکدیگر و سایر عوامل مداخله کننده نشان ندادند.

نتیجه گیری: مطالعه فوق برای اولین بار در ایران بهینه سازی شد و نشان داد که تکنیک Real time PCR می تواند به عنوان یک روش کاربردی و بسیار دقیق در مراکز تولیدی جهت تشخیص ناچالصی های DNA ناشی از میزبان، در اینترفرون و سایر محصولات دارویی نوترکیب به کار برده شود.

کلمات کلیدی: ناچالصی DNA، محصولات دارویی نوترکیب، اینترفرون، SYBR Green I، Real time PCR

مقدمه

میکروبی می شوند، عملکرد این سایتوکاین ها در سیستم ایمنی، آشکارتر شده است (۱).

اینترفرون ها با ایجاد یک محیط داخل سلولی، شبکه ای از ژن ها را فعال می کنند که نسخه برداری از آن ها باعث ساخت پروتئین هایی با عملکرد ضد توموری و ضد ویروسی می شود (۲). سه رده از اینترفرون ها وجود دارند: تیپ I یا اینترفرون های غیر ایمنی که شامل اینترفرون های آلفای تولید شده توسط لوکوسیت ها و اینترفرون های بتای تولید شده توسط فیبروبلاست ها، می باشند. تیپ II یا اینترفرون های ایمنی که شامل اینترفرون گاما می باشند و توسط سلول های کشنده طبیعی و

اینترفرون ها خانواده ای از سایتوکاین ها هستند که در پاسخ ایمنی ذاتی به عفونت های ویروسی، نقش اساسی دارند و به عنوان لیگاند، جهت اتصال اختصاصی به گیرنده های سطح سلول عمل می کنند. عملکرد بی نظیر اینترفرون ها باعث استفاده از آن ها در درمان بیماری هایی همچون هپاتیت، مالتیپل اسکلروزیس (MS) و لوسمی ها شده است (۳).

پس از کشف این واقعیت که اینترفرون ها باعث ایجاد تعادل بین سیستم های ایمنی ذاتی و اکتسابی در پاسخ به عفونت های

* نویسنده مسئول: تقی ناصرپور فریور، مرکز تحقیقات سلولی و مولکولی، دانشکده پزشکی، دانشگاه علوم پزشکی قزوین، قزوین، ایران. تلفن: ۰۲۸۱-۳۳۲۴۹۷۱. Email: taghin@yahoo.com



روش بررسی سطح آستانه کل DNA بر پایه اتصال دو پروتئین اختصاصی به DNA تک رشته می‌باشد که یکی از پروتئین‌ها به عنوان آنتی بادی و دیگری به عنوان پروتئین متصل شونده به DNA تک رشته عمل می‌کند (۱۵).

در صنایع تولید داروهای زیستی نوترکیب، تکنیک Real time PCR جهت تکثیر DNA و تعیین مقدار کمی آن به صورت همزمان، به کار می‌رود. این عمل باعث شناسایی توالی‌های اختصاصی DNA و تعیین مقدار آن در یک نمونه می‌شود (۱۶). روش Real time PCR جهت شناسایی باکتری‌ها، قارچ‌ها و ویروس‌ها در داروهای پروتئینی به کار رفته است (۱۷-۲۱).

استفاده از Real time PCR جهت شناسایی اختصاصی ناخالصی‌های DNA در پلاسمیدها نیز گزارش شده است (۲۲)، (۲۳). در سال‌های اخیر روش Real time PCR بر مبنای استفاده از رنگ ISYBR Green جهت شناسایی ناخالصی DNA ناشی از تخدمان همستر چینی به عنوان میزبان، در محصولات دارویی به کار رفته است (۲۴).

با توجه به صرف وقت زیاد، هزینه‌های بالا و حساسیت نسبتاً پائین روش‌های پیشین، هدف از این مطالعه، به کارگیری روش بسیار حساس و اختصاصی Real time PCR بر مبنای استفاده از رنگ SYBR Green I در تشخیص ناخالصی‌های DNA ناشی از باکتری *E.coli* در محصول دارویی نوترکیب اینترفرون براساس توالی 16S rRNA می‌باشد که در آن، امکان تشخیص آلودگی‌های DNA تا حد کمتر از یک پیکوگرم، امکان‌پذیر شده است.

مواد و روش‌ها

- ۱- کشت نمونه: ابتدا سویه غیر نوترکیب W3110 باکتری *E.coli* که میزبان تولید محصولات نوترکیب است، از بخش تولیدی انستیتوپاستور ایران دریافت شد و یک کلنی از آن در لوله آزمایش حاوی ۵ میلی لیتر محيط LB broth تاقیح شد و در انکوباتور ۳۷ درجه سانتی گراد به طور شبانه روزی کشت داده شد.

- ۲- استخراج ژنوم باکتری: جهت استخراج DNA، از کشت ۲۴ ساعته باکتری‌ها به میزان ۴ میلی لیتر برداشته شد و به دو میکروتیوپ ۲ میلی لیتری انتقال یافت و در 12000rpm به مدت ۲ دقیقه سانتریفوژ شد. مایع رویی دور ریخته شد. سپس

سلول‌های T تولید می‌شوند. تیپ III که شامل اینترفرون لامبدا می‌باشدند (۴،۵).

در میان بسیاری از سیستم‌های زیستی که جهت تولید اینترفرون نوترکیب و سایر محصولات دارویی پروتئینی به کار می‌روند، باکتری گرم منفی /شریشیا کولی/ (*E.coli*) دارای توانایی رشد سریع و آسان در محیط‌های ارزان قیمت و سیستم ژنتیکی کاملاً شناخته شده می‌باشد (۶). همچنین این باکتری، به علت دارا بودن وکتورهای متعدد و گونه‌های جهش یافته متنوع، یکی از بهترین میزبان‌ها محسوب می‌شود (۷،۸).

استفاده از *E.coli* به عنوان میزبان تولید پروتئین‌های دارویی نوترکیب، منوط بر ایجاد سیستم‌های کنترلی مختلف از جمله پاکسازی محصولات تولید شده، از نظر حضور DNA سلول میزبان در حین تولید محصولات (۹) و در پایان فرآیند تخلیص و استخراج دارو می‌باشد (۱۰،۱۱).

اگر چه اهمیت حضور ناخالصی‌های DNA در محصولات دارویی به خوبی مشخص نشده است؛ لذا این امکان وجود دارد که این DNA بتواند وارد سیستم ژنتیکی مصرف کنندگان شده و باعث تغییر در سطح بیان ژن‌های سلولی و یا حتی بیان یک ژن بیگانه شود (۱۲). بنابراین شرکت‌های سازنده محصولات دارویی باید ورود ناخالصی‌های DNA را در محصول نهایی کنترل کرده و مقدار آن‌ها را اندازه گیری نمایند. میزان مجاز DNA باقی مانده در محصولات، از نظر سازمان غذا و داروی آمریکا (FDA) صد پیکوگرم در هر دوز محصول می‌باشد و از نظر سازمان بهداشت جهانی و اتحادیه اروپا تا حد ده نانوگرم در هر دوز محصول، مجاز در نظر گرفته می‌شود (۱۳).

در چند سال اخیر، روش‌های هیبریداسیون DNA و بررسی سطح آستانه کل DNA جهت تعیین مقدار کمی آلودگی‌های DNA در محصولات دارویی به کار رفته‌اند (۱۴).

اصول کلی روش هیبریداسیون DNA بر پایه اتصال تک رشته‌ای کاوشگر (بروب) به DNA تک رشته‌ای باکتری میزبان که در یک نقطه ساکن شده است، می‌باشد. در این حالت، یک DNA دو رشته‌ای با دو رشته متفاوت ایجاد می‌شود (یک رشته DNA کاوشگر و رشته دیگر DNA میزبان) که میزان غلظت آن، به وسیله مقایسه سیگنال تولید شده توسط نمونه مجھول با سیگنال تولید شده توسط نمونه استاندارد، اندازه گیری می‌شود.



درجه سانتی گراد به مدت ۱۵ ثانیه، ۶۰ درجه سانتی گراد به مدت ۳۰ ثانیه و ۹۵ درجه سانتی گراد به مدت ۱۵ ثانیه انجام شد. واکنش های Real time PCR در حجم نهایی ۲۰ میکرولیتر به صورت دوتایی در پلیت های ۹۶ چاهکی انجام شدند. مخلوط واکنش شامل ۱۰ میکرولیتر از SYBR Green (TaKaRa, Japan) PCR Master Mix، یک میکرولیتر (غلظت ۱۰ پیکومول) از پرایمرهای مستقیم و معکوس، ۵ میکرولیتر DNA الگو، ۰/۴ میکرولیتر رنگ Rox و بقیه آب م قطر تا حجم نهایی ۲۰ میکرولیتر اضافه شد.

۵- تهیه رقت های متواالی از DNA الگو و ترسیم

منحنی استاندارد: جهت بهینه سازی واکنش Real time PCR از DNA الگو، هفت رقت متواالی به صورت ۱۰ نانوگرم، ۲ نانوگرم، ۴۰۰ پیکوگرم، ۸۰ پیکوگرم، ۱۶ پیکوگرم، ۳/۲ پیکوگرم و ۰/۸ پیکوگرم در میکرولیتر تهیه شد و واکنش Real time PCR جهت تکثیر رقت های متواالی تهیه شده به صورت دوتایی به همراه یک واکنش بدون حضور DNA الگو (کنترل منفی) در پلیت ۹۶ چاهکی انجام شد. در پایان واکنش، منحنی استاندارد بر اساس لگاریتم غلظت DNA (محور افقی) و سیکل آستانه (محور عمودی) ترسیم شد. از شیب منحنی استاندارد برای محاسبه راندمان واکنش تکثیری استفاده شد.

۶- استخراج DNA از محصول دارویی اینترفرون: با توجه به حضور عوامل ممانعت کننده از PCR مانند توئین در فرآورده نهایی محصولات، از ترکیب دارویی فعال اینترفرون استفاده شد. پس از جمع آوری ۵ نمونه از ترکیب دارویی فعال اینترفرون تولید شده در انستیتو پاستور ایران، که در فواصل زمانی یک هفته تولید شده بودند، همه نمونه ها با یکدیگر ترکیب شده و استخراج DNA طبق دستور العمل کیت QIAGEN صورت گرفت و DNA به دست آمده در پایان، در میکروتیوب ۲ میکرولیتری جمع آوری شد.

۷- انجام واکنش Real time PCR و محاسبه میزان ناخالصی DNA موجود در اینترفرون: پس از انجام واکنش Real time PCR به صورت دوتایی و به کمک ۵ میکرولیتر از DNA استخراج شده از محصول اینترفرون، از سیکل های آستانه (Ct) که برای هر واکنش به صورت دوتایی بود، میانگین گرفته

طبق دستورالعمل کیت به میزان ۱۸۰ میلی لیتر بافر لیز کننده مخصوص کیت به نمونه ها اضافه شد و به دنبال آن نیم ساعت در دمای ۵۶ درجه سانتی گراد انکوبه گردید. سپس از ۲۰ میکرولیتر پروتئیناز K جهت هضم پروتئینی استفاده شد. در این مرحله، لیز کامل سلولی صورت گرفت و یک محلول هموژن حاصل گردید. ادامه کار طبق دستور العمل کیت QIAGEN صورت گرفت و جذب ستوونی DNA بر روی غشاء سیلیکا انجام گرفت و پس از شستشو با بافر مخصوص، استخراج DNA پایان پذیرفت. غلظت و چگالی نوری DNA تخلیص شده در طول موج های ۲۶۰ و ۲۸۰ نانومتر با دستگاه اسپکتروفوتومتر نانودرایپ ND-1000 (BioRad, USA) تعیین گردید.

۳- طراحی پرایمر: جهت تکثیر ناحیه ۳'ی ۱۶S rRNA طول ۱۴۱ نوکلئوتید از DNA ژنومی باکتری *E.coli*, ابتدا توالی ناحیه مورد نظر از پایگاه نوکلئوتیدی NCBI به دست آمد. سپس Applied Biosystems, Foster city, CA, USA برای ژن مورد مطالعه، پرایمرهای اختصاصی طراحی گردید. توالی پرایمرهای تهیه شده به صورت زیر سفارش داده شد:

Fw-5'AAA GGA GAC TGC CAG TGA TA-3'
Rw-5'AGG TCG CTT CTC TTT GTA TG-3'

جهت اطمینان از عدم همولژی و مکمل بودن توالی پرایمرها با توالی های نوکلئوتیدی در بخش های دیگر ژنوم، توالی های BLAST Search tool پایگاه BLAST به قسمت NCBI به آدرس <http://www.ncbi.nlm.nih.gov/Blast> بررسی شدن.

۴- انجام واکنش Real time PCR: در مطالعه فوق از دستگاه ABI 7300 Sequence Detection system (Biosystems, Foster city, CA, USA) استفاده شد. برنامه زمانی- دمایی دستگاه در سه مرحله انجام شد.

مرحله اول که منجر به دناتوره شدن DNA الگو و فعال شدن آنزیم پلیمراز می گردد، در دمای ۹۵ درجه سانتی گراد و به مدت یک دقیقه انجام گرفت. در مرحله دوم، واکنش تکثیری در ۴۰ سیکل و با دمای ۹۵ درجه سانتی گراد به مدت ۲۰ ثانیه و دمای ۶۰ درجه سانتی گراد به مدت ۳۵ ثانیه ادامه یافت. مرحله پایانی جهت ترسیم منحنی تغذیک یا منحنی ذوب به صورت ۹۵

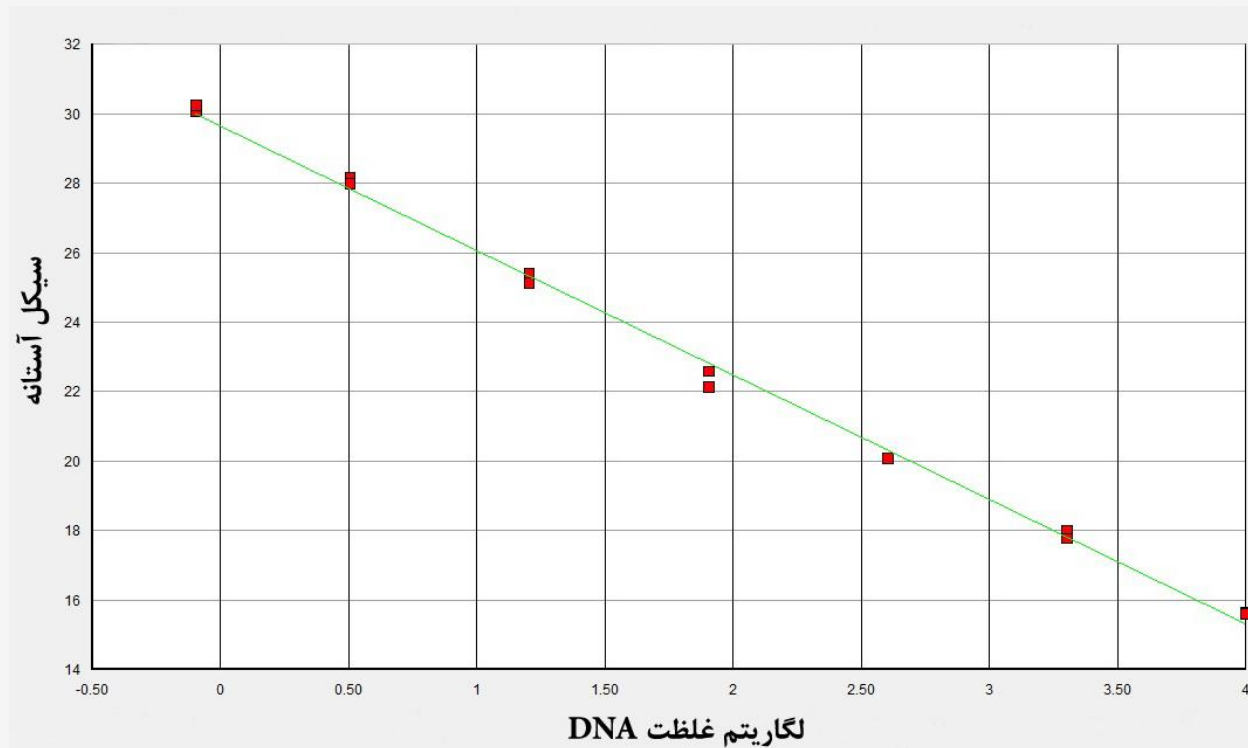
شدن پرایمرها (پرایمرویل) و عدم تکثیر قطعات بیگانه، منحنی ذوب و یا منحنی تفکیک ترسیم شد (نمودار ۲).

حساسیت و اختصاصی بودن واکنش Real time PCR به دمای اتصال، زمان اتصال و همچنین به غلظت کاتیون‌ها و پرایمرها در مخلوط واکنش بستگی دارد. بنابراین جهت افزایش حساسیت و اختصاصی بودن واکنش، این عوامل بهینه سازی شدند. غلظت مناسب برای پرایمرها ۰.۱ پیکومول در میکرولیتر انتخاب شد. دمای اتصال مطلوب برابر ۶۰ درجه سانتی گراد و غلظت کاتیون‌ها از جمله منیزیم حدود ۲ میلی مول تعیین شد.

شد و سپس با قرار دادن عدد محاسبه شده در معادله منحنی استاندارد، میزان ناخالصی DNA موجود در اینترفرون، به دست آمد.

نتایج

پس از پایان تکثیر رقت‌های متوالی DNA باکتری *E.coli* با شب غلظت‌های ۱۰^{-۰.۸} نانوگرم الی ۱۰^{-۰.۰} پیکوگرم، منحنی استاندارد بر اساس لگاریتم غلظت DNA و تعداد سیکل‌های واکنش Real time PCR ترسیم شد و یک نمودار خطی با ضریب همبستگی بالاتر از ۰/۹۸ به دست آمد (نمودار ۱).



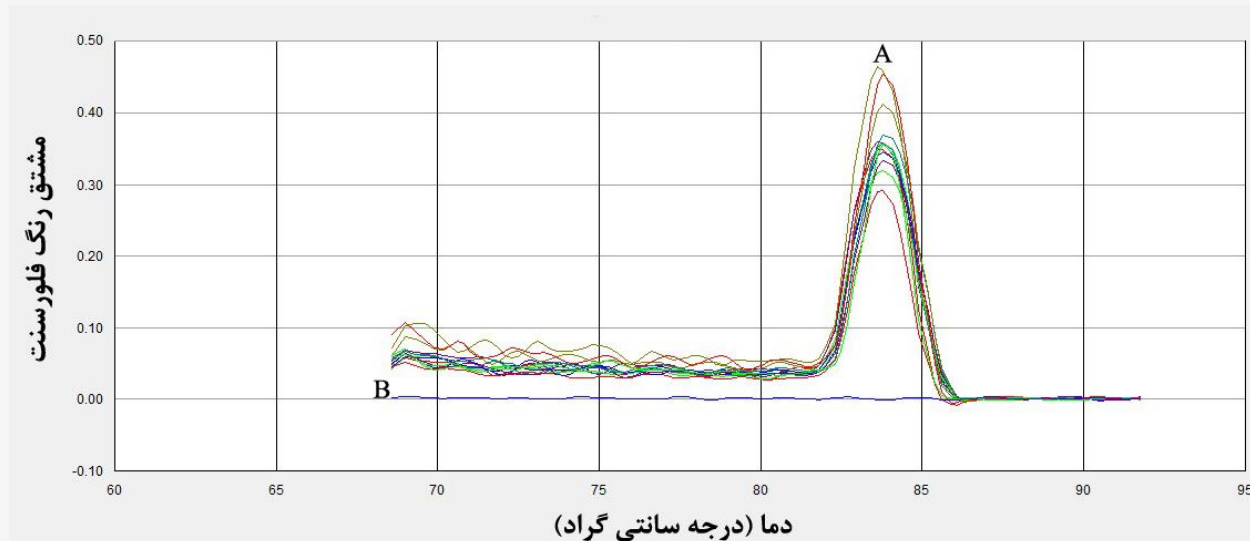
نمودار ۱: منحنی استاندارد تکثیر رقت‌های متوالی DNA ژنومی بر اساس لگاریتم غلظت DNA (محور افقی) و تعداد سیکل‌های واکنش PCR (محور عمودی). ضریب تعیین (R²) ۰/۹۹ به دست آمد.

زمان اتصال مناسب، برابر ۲۰ ثانیه مشخص شد. حساسیت روش راه اندازی شده جهت تشخیص ناخالصی‌های DNA، تا حد ۰/۸ پیکوگرم در هر دوز محصول رسید. این میزان، ۴ برابر حساسیت از اعداد گزارش شده در روش‌های قبلی هیبریداسیون (۳ پیکوگرم) و بررسی سطح آستانه DNA (۳/۷۳ پیکوگرم) مشخص

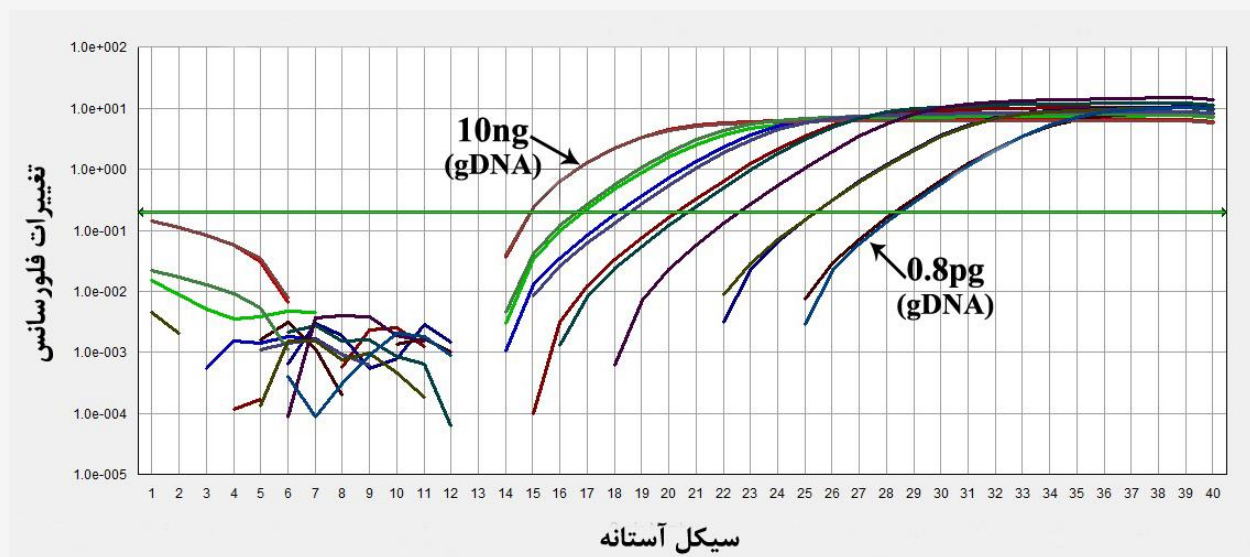
در مطالعه حاضر از رنگ فلورسنت I SYBR Green به عنوان آشکارساز استفاده شد. این ماده قادر است در شیار کوچک مولکول DNA دو رشتہ‌ای قرار گرفته و نور فلورسنت منتشر کند که به طور غیر اختصاصی به مولکول DNA متصل می‌شود. بنابراین جهت تعیین تکثیر اختصاصی قطعات ژنی مورد نظر، عدم جفت

بيانگر رقت‌های متوالی ژنوم باکتری از ۱۰ نانوگرم الی $0/8$ پیکوگرم بودند (نمودار ۳).

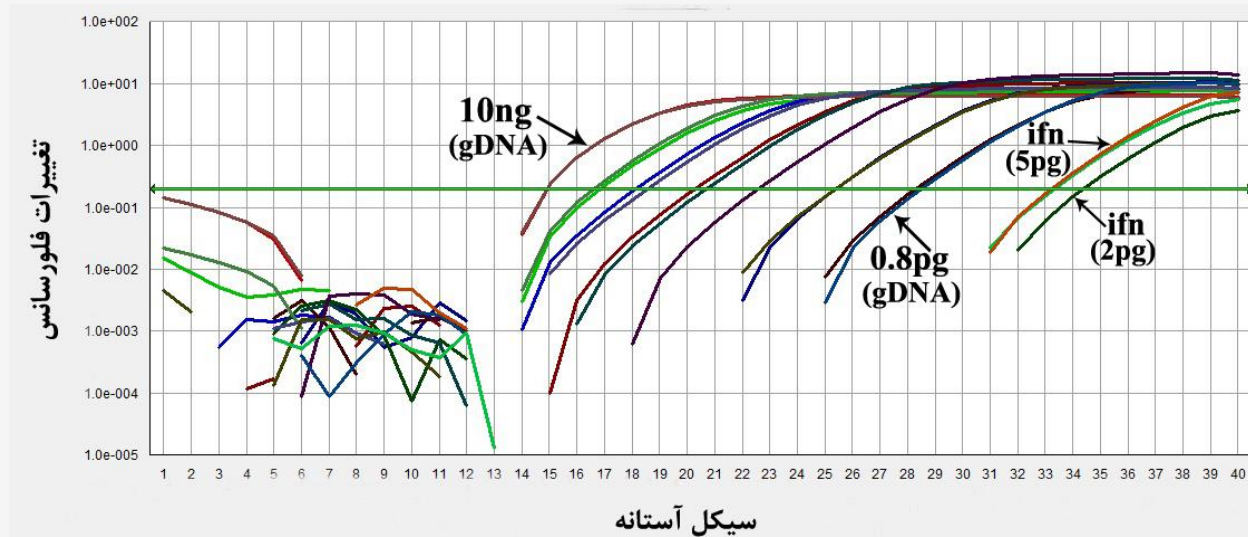
شد. در واکنش Real time PCR، منحنی‌های تکثیری مربوط به واکنش‌های دوتایی در اکثر موارد با یکدیگر همپوشانی داشتند و



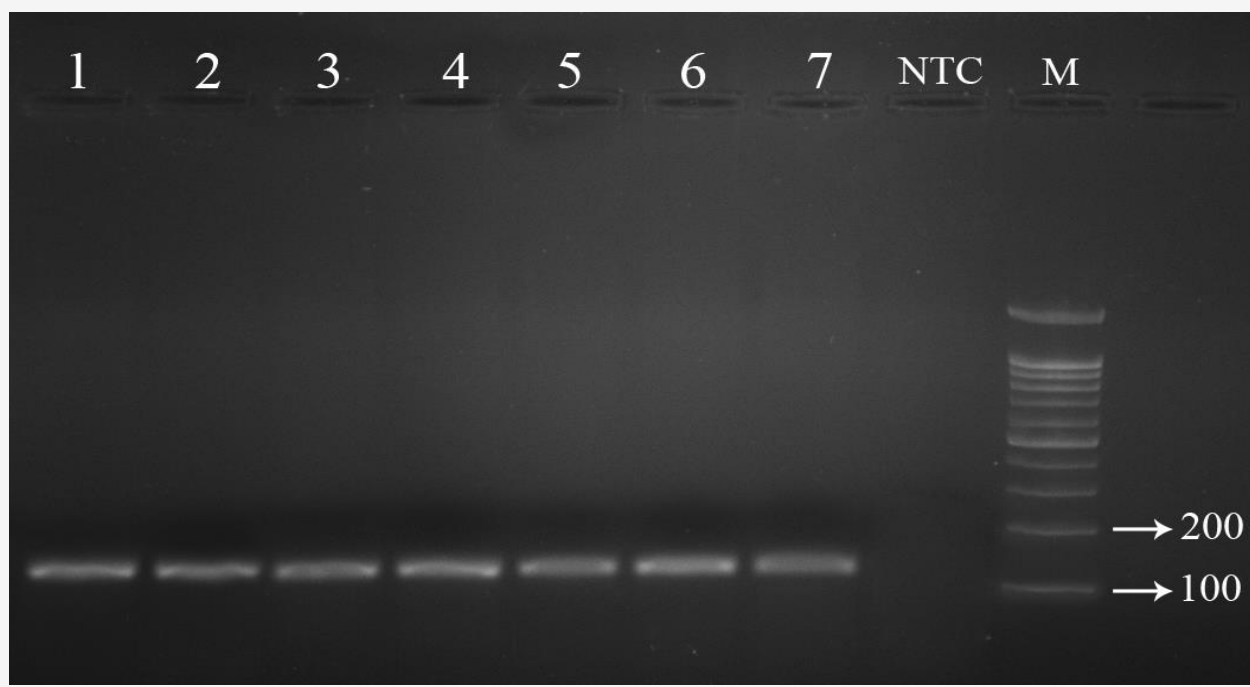
نمودار ۲: منحنی تفکیک (منحنی ذوب) بر اساس دما (محور افقی) و مشتق سیگنال فلورسنت (محور عمودی) دریافتی از دستگاه. A: منحنی تفکیک ژن را نشان می‌دهد که قطعه تکثیری مورد نظر در دمای 84°C درجه سانتی گراد دناتوره می‌شود. B: بیانگر عدم اتصال پرایمرها (پرایمردایمر) است.



نمودار ۳: منحنی تکثیر قطعات ژنومی با رقت‌های متوالی از ۱۰ نانوگرم الی $0/8$ پیکوگرم. رقت‌های متوالی از $10/2$ نانوگرم الی $0/8$ پیکوگرم به نسبت $\frac{1}{5}$ برابر رقیق شده‌اند و در تهیه رقت $0/8$ پیکوگرم به نسبت $\frac{1}{4}$ برابر رقیق سازی صورت گرفته است.



نمودار ۴: منحنی تکثیر رقت‌های متوالی ژنوم باکتری به همراه منحنی تکثیر DNA استخراج شده از اینترفرون. تعداد سیکل‌های آستانه روی محور افقی و $\Delta Rn = Rn^+ - Rn^-$ روی محور عمودی نشان داده شده است. رنگ فلورسنت زمینه Rn^- و کل رنگ دریافتی Rn^+ تغییر فلورسانس دریافتی (ΔRn) است.



شکل ۱: ژل الکتروفورز قطعات تکثیر شده: ۱=10ng , ۲=2ng , ۳=400pg , ۴=80pg , ۵=16pg , ۶=3.2pg , ۷=0.8pg
NTC= کنترل منفی M=100bp DNA ladder

دو تایی، مورد تکثیر قرار گرفت و میانگین سیکل آستانه آن‌ها عدد ۳۲/۵۸ به دست آمد (نمودار ۴).

همزمان با تکثیر رقت‌های متوالی DNA ژنومی باکتری، استخراج شده از اینترفرون به مقدار ۵ میکرولیتر به صورت DNA



برای شناسایی آلودگی‌های باکتری *E.coli* به عنوان میزان تولید محصول، تا حد ۱۰ پیکوگرم بود که در این مورد، چنین حساسیتی چندان مناسب به نظر نمی‌رسید (۲۸). به طور عمومی روش‌های هیبریداسیون DNA و بررسی سطح آستانه کل DNA برای اندازه گیری میزان ناچالصی‌های DNA ناشی از سلول میزان در صنایع تولیدی محصولات دارویی به کار رفته‌اند، هر چند که این روش‌ها بسیار وقت‌گیر، پر هزینه و نسبتاً غیر حساس می‌باشند. لی و همکاران در سال ۲۰۱۰ روش‌های هیبریداسیون DNA و سطح آستانه کل DNA را جهت اندازه گیری کمی DNA ژنومی باکتری *E.coli* با روش Real time PCR مقایسه کردند که در آن حساسیت و دقت روش Real time PCR، ۳۰ برابر بالاتر از دو روش دیگر ذکر شد (۲۹). بررسیلی و همکاران، صرفاً جهت مقایسه سه روش گفته شده، به کار برده شد و کنترل کیفی هیچ گونه دارویی در آن مدنظر قرار گرفته نشده بود.

در این مطالعه از روش سریع، بسیار حساس و اختصاصی تشخیص آلودگی DNA ناشی از باکتری *E.coli* به عنوان میزان، در اینترفرون نوترکیب استفاده شد. این روش قادر است با حساسیتی مناسب، در زمانی اندک و بر اساس منحنی استاندارد، میزان آلودگی‌های DNA را در محصولات دارویی نشان دهد. جهت شناسایی این آلودگی‌ها از ناحیه ژنی 16S rRNA که دارای بیشترین درجه حفاظت شدگی در بین سویه‌های مختلف باکتری می‌باشد، استفاده شد. بر اساس نتایج BLAST و بررسی واکنش به روی عوامل احتمالی مداخله‌گر، نشان داده شد که پرایمرهای طراحی شده هیچ گونه واکنشی با سایر نواحی دیگر ندارند. اگرچه نشانگرهای حاوی رنگ فلورسنت همچون تک من، بیکون‌های DNA و اسکورپیون وجود دارند که به طور اختصاصی به مولکولی و اسکورپیون وجود دارند، ولی بسیار پر هزینه‌تر از رنگ SYBR Green I می‌باشند. یک نقص عمدۀ در هنگام استفاده از رنگ SYBR Green I، ایجاد اتصالات پرایمر (پرایمردایمر) می‌باشد که با بهینه سازی شرایط واکنش از جمله طراحی دقیق پرایمرها، تنظیم غلظت کاتیون‌ها از جمله منیزیم، تنظیم دمای اتصال و زمان اتصال، این نقایص به حداقل مقدار خود رسیدند (۳۰). اگرچه افزایش غلظت پرایمرها باعث افزایش سرعت اتصال آن‌ها به DNA

جهت بررسی کیفیت قطعات ژنومی تکثیر شده در واکنش Real time PCR، محصولات واکنش در ژل الکتروفورز ۰/۸ درصد بارگذاری شدند. از مارکر مولکولی با اندازه ۱۰۰ جفت بازی (100bp Ruler, fermentas) به طول ۱۴۰ جفت باز به دست آمد (شکل ۱). به کمک نمودار ۱، معادله منحنی استاندارد از روی شیب نمودار $Y = -3/23X + 27.141$ و عرض از مبدأ نمودار (۲۷/۱۴۱) ۳.23X+27.141 که Y نشان دهنده سیکل آستانه و X نشان دهنده لگاریتم غلظت نمونه مورد آزمایش می‌باشد. سپس به کمک نمودار ۴، از میانگین سیکل‌های آستانه به دست آمده در واکنش تکثیری دوتایی اینترفرون، استفاده شد و به جای Y در معادله قرار داده شد. به کمک این اعداد، مقادیر X و از روی آن، غلظت DNA که همان مقدار ناچالصی موجود در محصول دارویی اینترفرون می‌باشد، $0.02 \mu\text{g}$ در هر دوز محصول، اندازه گیری شد. این میزان، بسیار کمتر از مقدار مجاز توصیه شده توسط سازمان غذا و داروی آمریکا ($100 \mu\text{g}$ در هر دوز محصول)، گزارش شد.

بحث و نتیجه گیری

حضور بقاویای DNA سلول باکتری *E.coli* به عنوان ناچالصی در محصولات نوترکیب، همواره به عنوان یک عامل خطر محسوب شده است (۲۵). بنابراین سازمان غذا و داروی آمریکا (FDA) و دیگر سازمان‌ها، معیارهای ایمنی و کنترل‌های کیفی خاصی را جهت اطمینان از عدم آلودگی محصولات، وضع کرده‌اند. با توجه به تغییر شرایط محیط داخلی سلول میزان در حین استخراج دارویی، بسیار مشکل شده است (۲۶). روش‌های به کار رفته جهت تعیین میزان ناچالصی‌های DNA باید تا حدی حساس و دقیق باشند که میزان بسیار اندک آلودگی‌ها را نیز نشان دهند. جی و همکاران در سال ۲۰۰۲ روش هیبریداسیون DNA را جهت تعیین مقدار بقاویای DNA سلول باکتری در محصولات دارویی معرفی کردند که میزان حساسیت آن در تشخیص ناچالصی‌های DNA تا حد ۲/۵ پیکوگرم بود (۲۷). در پژوهشی مشابه، وانگ و همکاران در سال ۲۰۰۵ روش هیبریداسیون DNA را برای شناسایی بقاویای DNA سلول میزان در واکسن‌های DNA که جزء محصولات دارویی نوترکیب می‌باشند، معرفی کردند. حساسیت این روش



را در حین تولید محصول و همچنین در پایان تولید محصول و در فرآورده‌های نهایی، اندازه‌گیری کند.

روش Real time PCR علاوه بر داشتن حساسیت و ویژگی بالا، دارای کاربردی آسان، سرعت زیاد و قیمت تمام شده مناسبی نیز می‌باشد که مجموع این ویژگی‌ها باعث می‌شود که بتوان از آن به عنوان یک روش مناسب در مراکز تولید دارو جهت تشخیص میزان ناخالصی‌های DNA در محصولات نوترکیب و کنترل کیفی آن‌ها استفاده نمود. امید است بتوان با به کارگیری روش فوق، محصولات دارویی با حداقل ناخالصی و حداقل کیفیت را مطابق با استانداردهای جهانی به بازار عرضه نمود.

تشکر و قدردانی

بدین وسیله از زحمات کلیه همکاران محترم بخشن کنترل کیفی انسستیتو پاستور ایران بالاخص سرکار خانم دکتر درود و جناب آقای دکتر عزیزی کمال تشکر را داریم. این مطالعه در قالب طرح پژوهشی در دانشگاه علوم پزشکی قزوین از پایان نامه دانشجویی با شماره ثبت ۲۸/۰۵۵۹۱ انجام شد که ۶۰ درصد از هزینه‌ها توسط دانشگاه علوم پزشکی قزوین و ۴۰ درصد از هزینه‌ها توسط انسستیتو پاستور ایران تأمین گردید.

تعارض منافع

نویسنده‌گان هیچ گونه تعارض منافعی را اعلام نکرده‌اند.

الگو می‌شود، لیکن احتمال افزایش اتصالات غیر اختصاصی آن‌ها نیز بیشتر می‌شود.

غلظت کاتیون‌ها به خصوص منیزیم، دمای تفکیک رشته‌های DNA از یکدیگر و در نتیجه اتصال پرایمرها را به الگو، تحت تأثیر قرار می‌دهد. این یون‌ها به گروههای فسفات دارای بار منفی در رشته‌های DNA متصل شده و باعث تسهیل اتصال پرایمرها به الگو می‌شوند. افزایش غلظت یون منیزیم از مقدار معینی، باعث تکثیر غیر اختصاصی قطعات ژنی و ایجاد پرایمر دایمی می‌شود. پس از رسم منحنی تکثیر رقت‌های متوالی DNA، سیکل‌های آستانه در بازه‌ای بین ۱۴/۸۱ و ۲۸/۴۲ به دست آمدند. جرم مولکولی باکتری *E.coli* معادل 2.86×10^9 دالتون می‌باشد. به طور متوسط هفت نسخه از توالی 16S rRNA در ژنوم هر باکتری *E.coli* وجود دارد. در مطالعه حاضر، حساسیت روش راه اندازی شده، معادل ۰/۸ پیکوگرم از DNA ژنومی باکتری می‌باشد. با تبدیل این عدد بر حسب دالتون و تقسیم آن به جرم مولکولی هر باکتری، عدد ۱۶۷ و با ضرب آن در عدد هفت، عدد ۱۱۶۹ به دست می‌آید. این ارقام نشان دهنده آن است که در حضور آبودگی در محصولات دارویی، روش راه اندازی شده فوق، قادر است که حداقل ۱۶۷ عدد باکتری *E.coli* و حداقل ۱۱۶۹ نسخه از توالی 16S rRNA را در نمونه مورد آزمایش تشخیص دهد. این روش می‌تواند میزان ناخالصی‌های DNA ناشی از باکتری میزان

References

1. Fensterl V, Sen GC. Interferons and viral infections.Biofactors. 2009;35(1):14-20.
2. Content J. Mechanisms of induction and action of interferons. Verh K Acad Geneeskd Belg. 2009;71(1-2):51-71.
3. Grandvaux N, Tenover BR, Servant MJ, Hiscock J. The interferon antiviral response: from viral invasion to evasion. Curr Opin Infect Dis. 2002;15(3):259-67.
4. Meyer O. Interferons and autoimmune disorders.Joint Bone Spine. 2009;76(5):464-73.
5. Wang H, Zhou M, Brand J, Huang L. Inflammation activates the interferon signaling pathways in taste bud cells. J Neurosci. 2007;27(40):10703-13.
6. Banexy F. Recombinant protein expression in Escherichia coli. Curr Opin Biotechnol. 1999;10(5): 411-421.
7. Jana S, Deb JK. Strategies for efficient production of heterologous proteins in Escherichia coli. Appl Microbiol Biotechnol. 2005;67(3):289-298.
8. Swartz JR. Advances in Escherichia coli production of therapeutic proteins. Curr Opin Biotechnol. 2001;12(2): 195-201.
9. Shukla A, Jiang C, Ma J, Rubacha M, Flensburg L, Lee SS. Demonstration of robust host cell protein clearance in biopharmaceutical downstream processes. Biotechnol prog. 2008;24(3): 615-622.



10. Hoffman T. Anticipating, recognizing, and preventing hazards associated with *in vivo* use of monoclonal antibodies: special considerations related to human anti-mouse antibodies. *Cancer Res.* 1990;50(3):1049-1050.
11. Rathore AS, Sobacke TJ, Kocot DR, Morgan DR, Dufield RL, Mozier NM. Analysis for residual host cell proteins and DNA in process streams of a recombinant protein product expressed in *Escherichia coli* cells. *J Pharm Biomed Anal.* 2003;32(6): 1199-1211.
12. Walsh G. Proteins: biochemistry and biotechnology. 1st ed. West Sussex, England: John Wiley & Sons; 2002. P.205-206.
13. Eldering JA, Felten C, Veilleux CA, Potts BJ. Development of a PCR method for mycoplasma testing of Chinese hamster ovary cell cultures used in the manufacture of recombinant therapeutic proteins. *Biologicals.* 2004;32(4):183-93.
14. Wolter T, Richter A. Assays for controlling host-cell impurities in biopharmaceuticals. *BioProcess Int.* 2005;3(2): 40-46.
15. Kung VT, Panfilo PR, Sheldon EL, King RS, Nagainis PA, Gomez JB, et al. Picogram quantitation of total DNA using DNA-binding proteins in a silicon sensor-based system. *Anal Biochem.* 1990;187(2): 220-227.
16. Kubista M, Andrade JM, Bengtsson M, Forootan A, Jonak J, Lind K, et al. The real-time polymerase chain reaction. *Mol Aspects Med.* 2006;27(2):95-125.
17. Jeong HS, Shin JH, Park YN, Choi JY, Kim YL, Kim BG, et al. Development of real-time RT-PCR for evaluation of JEV clearance during purification of HPV type 16 L1 virus-like particles. *Biologicals.* 2003;31(3): 223-229.
18. Lee DH, Jeong HS, Kim TE, Oh SH, Lee J, Kim IS. Real-Time RT-PCR for Validation of Reovirus Type 3 Safety During the Manufacture of Mammalian Cell Culture-Derived Biopharmaceuticals. *Korean J Microbiol.* 2008;44(2):56-65.
19. Monis PT, Giglio S. Nucleic acid amplification-based techniques for pathogen detection and identification. *Infect Genet Evol.* 2006;6(1): 2-12.
20. Wit C, Fautz C, Xu Y. Real-time quantitative PCR for retrovirus-like particle quantification in CHO cell culture. *Biologicals.* 2000;28(3): 137-148.
21. Wolf J, Wang L, Wang F. Application of PCR technology in vaccine product development. *Expert Rev Vaccines.* 2007;6(4): 547-558.
22. Martins S, Prazeres D, Cabral J, Monterino G. Comparison of real-time polymerase chain reaction and hybridization assays for the detection of *Escherichia coli* genomic DNA in process samples and pharmaceutical-grade plasmid DNA products. *Anal Biochem.* 2003;322(1):127-129.
23. Lee C, Lee S, Shin SG, Hwang S. Real-time PCR determination of rRNA gene copy number: absolute and relative quantification assays with *Escherichia coli*. *Appl Microbiol Biotechnol.* 2008;78(2): 371-376.
24. Nissom PM. Specific detection of residual CHO host cell DNA by real-time PCR. *Biologicals.* 2007;35(3): 211-215.
25. Lahijani R, Duhon M, Lusby E, Betita H, Marquet M. Quantitation of host cell DNA contaminant in pharmaceutical-grade plasmid DNA using competitive polymerase chain reaction and enzyme-linked immunosorbent assay. *Hum Gene Ther.* 1998;9(8):1173-1180.
26. Workman WE. Sample preparation and residual DNA analysis of biopharmaceuticals. *J Pharm Biomed Anal.* 1995;21(1):479-483.
27. Ji X, Lee K, DiPaolo B. High-sensitivity hybridization assay for quantitation of residual *E. coli* DNA. *Biotechniques.* 2002;32(5):1162-7.
28. Wang KY, Guo YJ, Sun SH, Shi k, Zhang S, Wang KH, et al. 16S rRNA gene probe quantitates residual host cell DNA in pharmaceutical-grade plasmid DNA. *Vaccine.* 2006;24(14): 2656-2661.
29. Lee DH, Bae JE, Lee JH, Shin JS, Kim IS. Quantitative detection of residual *E. coli* host cell DNA by real-time PCR. *J Microbiol Biotechnol.* 2010;20(10):1463-70.
30. Lovatt A. Applications of quantitative PCR in the biosafety and genetic stability assessment of biotechnology products. *J Biotechnol.* 2002;82(3):279-300.



Original Article

Application of Rapid and Sensitive Real Time PCR Technique in Detection of DNA Impurities in Recombinant Interferon

Mamnoon B¹, Naserpour Farivar T^{1*}, Karimi Arzenani M²

1- Cellular and Molecular Research Center, Faculty of Medicine, Qazvin University of Medical Sciences, Qazvin, Iran.

2- Molecular Medicine Department, Pasteur Institute of Iran, Tehran, Iran.

Received: 16 Jun 2014

Accepted: 23 Oct 2014

Abstract

Background & Objective: Interferon belongs to a family of cytokines, which has the most important role in the innate immune response to virus infections. While producing recombinant interferon in biological host, some pieces of host nucleic acids remain in product. Because of limitations in previous techniques for detection of these impurities, the objective of this study is to use rapid and sensitive Real time PCR method for detecting the impurities.

Materials & Methods: First, with DNA extraction from bacterial host cell and preparation of its serial dilutions, SYBR Green-based Real time PCR reaction was held and standard curve was plotted. After DNA extraction from interferon and performing PCR, total DNA amount was determined using standard curve.

Results: Studies performed on some interferon samples, revealed that the amount of DNA impurities was about 0.02 pg. per product dose. In addition, the designed primers in the above reaction had no interaction with each other and other interfering agents.

Conclusion: For the first time in Iran, this study was set up and it revealed that Real time PCR can be used as a functional and accurate technique in manufacture centers for detection of residual host cell DNA in interferon and other recombinant pharmaceutical products.

Keywords: DNA impurities, Recombinant pharmaceutical products, Interferon, Real time PCR, SYBR Green I

*Corresponding author: Taghi Naserpour Farivar, Cellular and Molecular Research Center, Faculty of Medicine, Qazvin University of Medical Sciences, Qazvin, Iran.
Email: taghin@yahoo.com
Tel: +98 281 3324971